



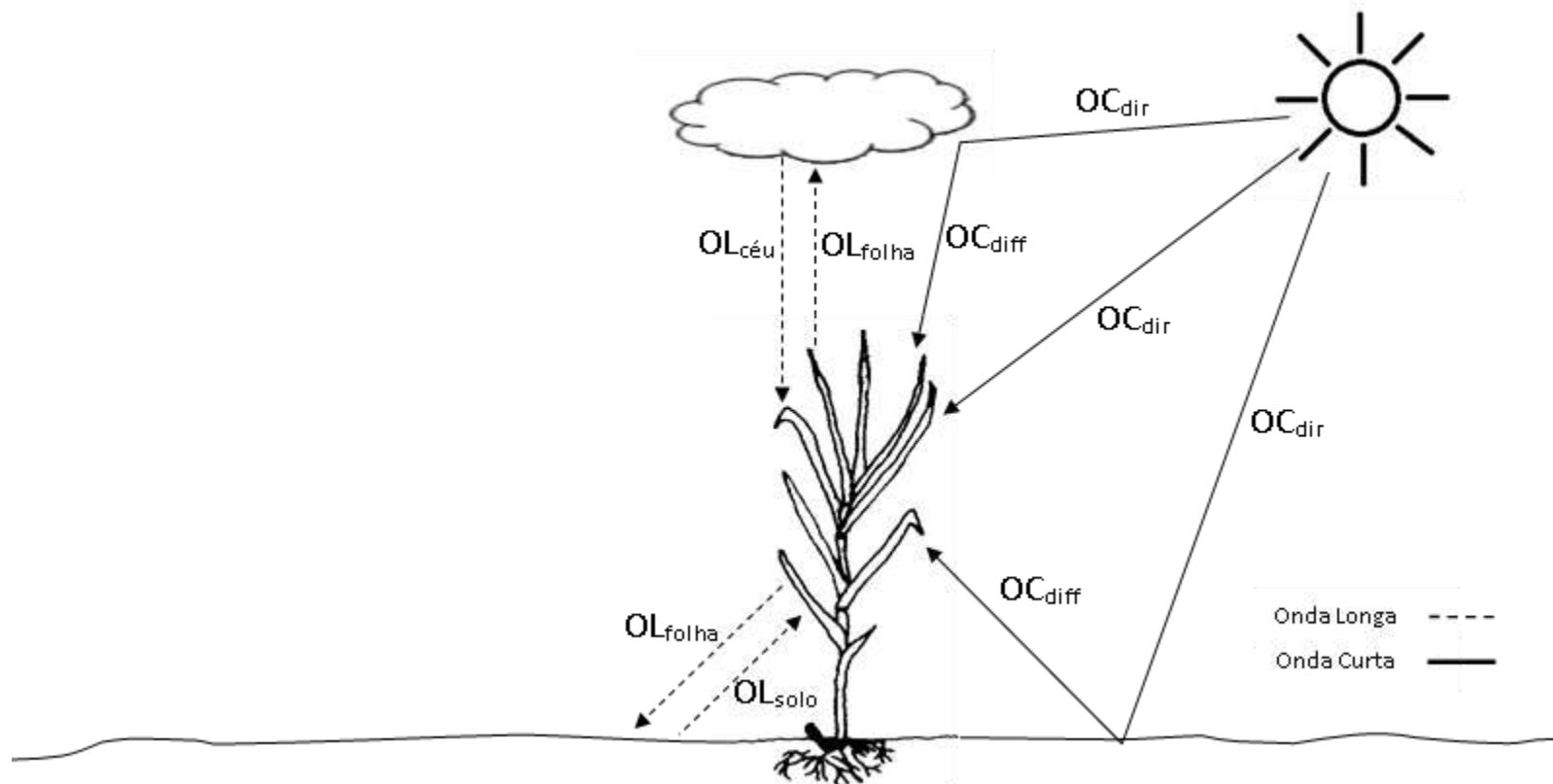
UNIVERSIDADE DE SÃO PAULO  
ESCOLA SUPERIOR DE AGRICULTURA "LUIZ DE QUEIROZ"  
DEPARTAMENTO DE ENGENHARIA DE BIOSSISTEMAS  
LEB5036 Micrometeorologia de Sistemas Agrícolas



# Balanço de Radiação e Energia

Agosto de 2017

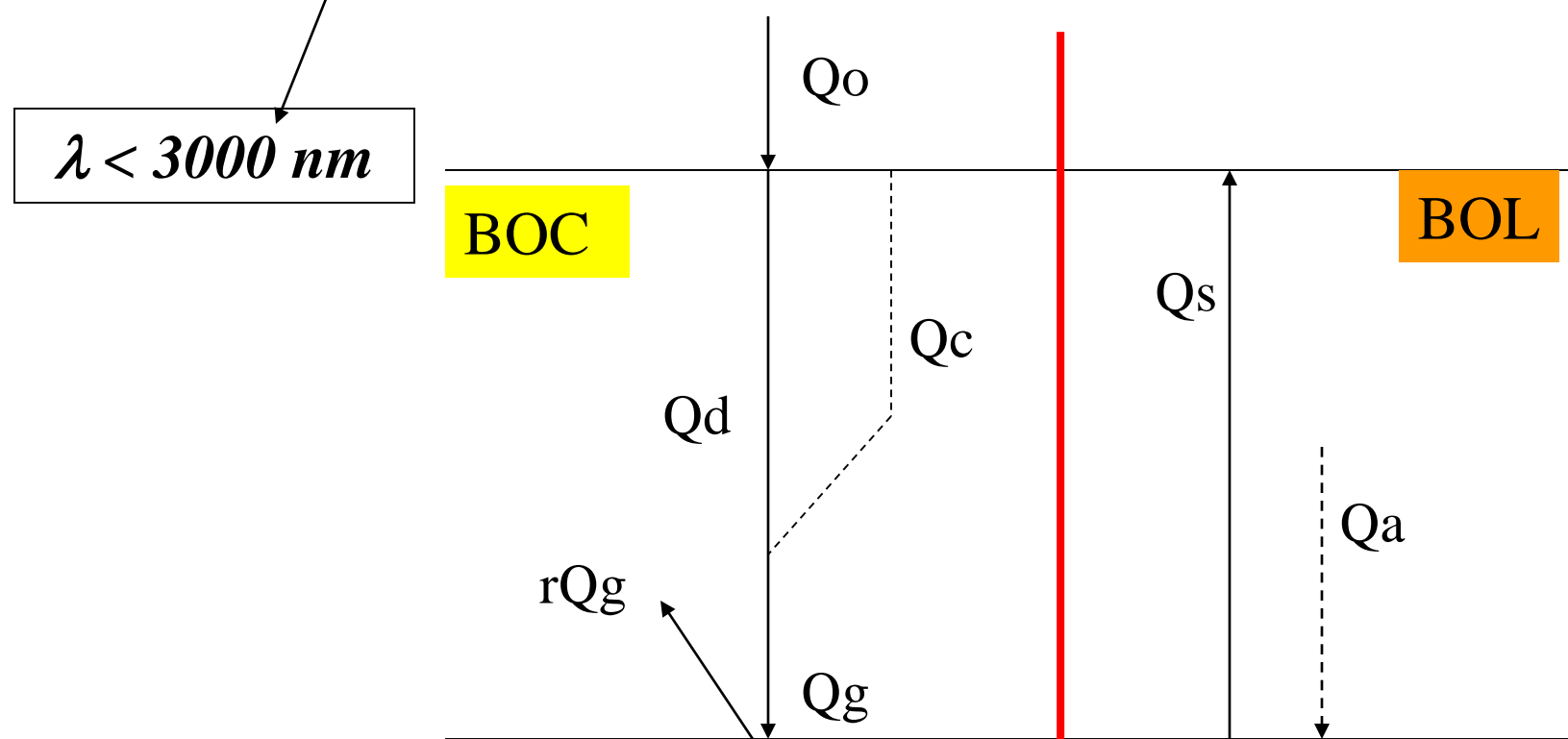
# Balanço de Radiação



# Balanço de Radiação

- Saldo de radiação ( $R_n$ )
- $R_n = BOC + BOL$

$$\lambda < 3000 \text{ nm}$$



# Balanço de Radiação

- Saldo de radiação (SR ou Rn)
- $SR = BOC + BOL$

$$BOC = Qg - rQg$$

$$BOL = Qa - Qs$$

$$SR = Qg (1-r) + Qa - Qs$$

Dia: Positivo  
Noite: negativo

Dia: negativo  
Noite: negativo

Dia: positivo  
Noite: negativo

# Balanço de Radiação

$$BOL = Q_a - Q_s$$

$$Q_{atm} = \varepsilon_{atm} \cdot \sigma \cdot T_{atm}^4$$

$$Q_{sup} = \varepsilon_{sup} \cdot \sigma \cdot T_{sup}^4$$

•Aproximação de Brunt (1932):

Admite-se que  $T_{sup} \approx T_{atm}$ , que  $\varepsilon_{sup} \approx 1$  e que  
 $\varepsilon_{atm} \propto$  umidade do ar ( $e_a$ ), tem-se que:

# Balanço de Radiação

- Estimativa do Saldo de radiação (SR) -

$$BOL = - \left[ 4,903 * 10^{-9} * \left[ \frac{T_{\max}^4 + T_{\min}^4}{2} \right] * (0,34 - 0,14 * \sqrt{e_a}) * \left( 1,35 \frac{Q_g}{Q_{cs}} - 0,35 \right) \right]$$

$$SR = Qg(1 - r) - \left[ 4,903 * 10^{-9} * \left[ \frac{T_{\max}^4 + T_{\min}^4}{2} \right] * (0,34 - 0,14 * \sqrt{e_a}) * \left( 1,35 \frac{Q_g}{Q_{cs}} - 0,35 \right) \right]$$

$$Qg_{cs} = (0,75 + 2 \cdot 10^{-5} \cdot z) \cdot Qo$$

# Relações empíricas para estimativa do saldo de radiação baseado na radiação solar global.

Local	Superfície	Equação	Unidade, R <sup>2</sup>	Referência
Mead, Nebraska, EUA <sup>1</sup>	Alfafa (dados integrados para 24 horas do dia)	$SR = -0,34 + 0,69 \cdot Q_g$	MJ·m <sup>-2</sup> ·d <sup>-1</sup> , 0,96	(Rosemberg, 1969)
Tel Amara, Líbano <sup>1</sup>	n.d <sup>2</sup> .	$SR = -0,38 + 0,73 \cdot Q_g$	MJ·m <sup>-2</sup> ·d <sup>-1</sup> , 0,92	Sarraf e Aboukhaled (1970)
Israel <sup>1</sup>	Diversos	$SR = -98 + 0,85 \cdot Q_g$	W·m <sup>-2</sup> , 0,92	Stanhill et al. (1966)
Ames, Iowa, EUA <sup>1</sup>	Gramado	$SR = -0,88 + 0,75 \cdot Q_g$ <sup>3</sup> $SR = -0,35 + 0,87 \cdot Q_g$ <sup>4</sup>	MJ·m <sup>-2</sup> ·d <sup>-1</sup> , 0,97 MJ·m <sup>-2</sup> ·d <sup>-1</sup> , 0,98	Shaw (1956)
Botucatu, SP	Alface em estufa	$SR = 0,593 \cdot Q_g$	MJ·m <sup>-2</sup> ·d <sup>-1</sup> , n.d <sup>2</sup> .	Frisina e Escobedo (1999)
Dourados, MS	Gramado	$SR = 0,435 \cdot Q_g$	MJ·m <sup>-2</sup> ·d <sup>-1</sup> , 0,93	Fietz e Fisch (2008)
Piracicaba, SP	Gramado	$SR = 0,48 \cdot Q_g$	MJ·m <sup>-2</sup> ·d <sup>-1</sup> , 0,92	Sentelhas e Nascimento (2003)
Piracicaba, SP	Pomar de Lima Acida Tahiti	$SR = 0,61 \cdot Q_g$	MJ·m <sup>-2</sup> ·d <sup>-1</sup> , 0,89	Marin et al. (2001)
Piracicaba, SP	Cafezal	$SR = 0,49 \cdot Q_g$	MJ·m <sup>-2</sup> ·d <sup>-1</sup> , 0,88	Marin (2003)
Piracicaba, SP	Capim Tanzânia	$SR = 0,528 \cdot Q_g$	MJ·m <sup>-2</sup> ·d <sup>-1</sup> , 0,93	Silva et al. (2007)
Piracicaba, SP	Gramado	$SR = 0,541 \cdot Q_g$	MJ·m <sup>-2</sup> ·d <sup>-1</sup> , 0,84	Silva et al. (2010)

# Balanço de Radiação

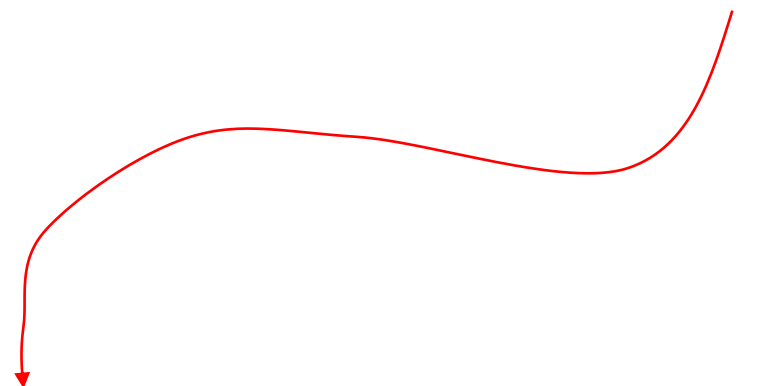
- Coeficiente de reflexão ou albedo

Superfície	Coef. Reflexão (r, %)
Agua	5
Solo escuro	5 a 15
Solo claro	25 a 45
Gramado	20 a 30
Milho	16 a 23
Floresta	10 a 15

$$\text{BOC} + \text{BOL} = R_n$$



**Balanço de Radiação**



**$R_n = \text{Calor Sensível} + \text{Calor no Solo} + \text{Calor Latente} + \text{Fotossíntese}$**



**Balanço de Energia**

# REPRESENTACAO ESQUEMÁTICA DOS FLUXOS DE ÁGUA, CARBONO, RADIAÇÃO E ENERGIA NA BIOSFERA.

BOC

+

BOL

=

Chuva

=

$$Rn = H + G + LE + F$$

+

Escoamento  
lateral

+

Drenagem

+

Arm. Água

+

Respiracao  
do solo

+

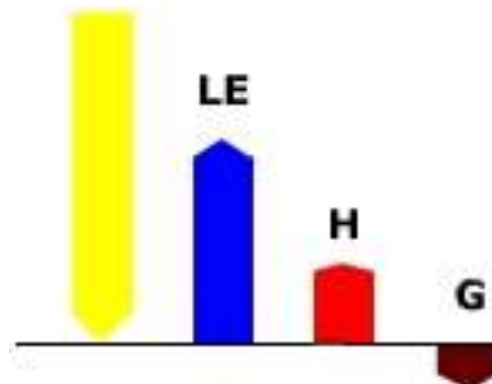
Arm.  
Carbono

=

Fluxo de  
CO<sub>2</sub>

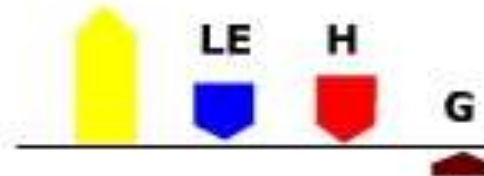
**Superfície úmida - dia**

Rn



**Superfície úmida - noite**

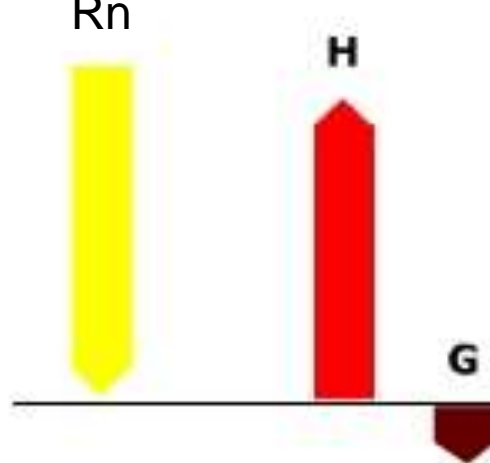
Rn



**Superfície seca - dia**

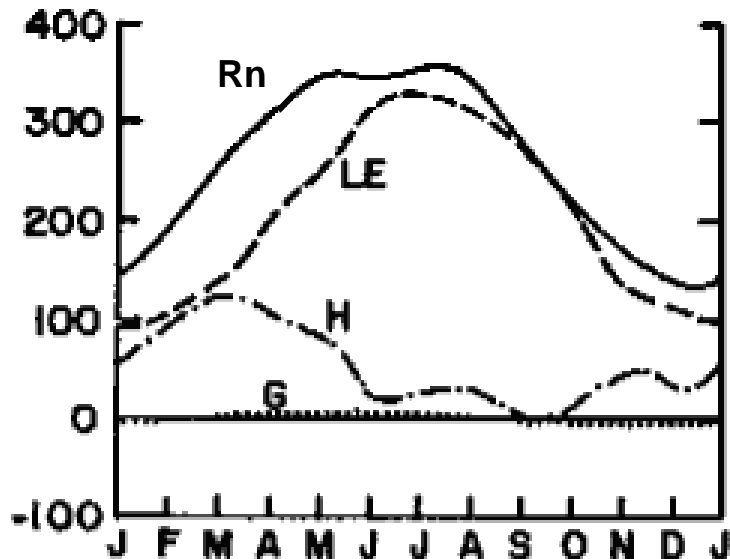
**Normalmente,  
quando a  
superfície está  
úmida LE  
predomina,  
consumindo  
cerca de 70 a  
80% de Rn**

Rn



**Sob condição  
de superfície  
seca, o  
processo de  
aquecimento do  
ar predomina**

West Palm Beach, Florida ( $26.7^{\circ}\text{N}$ )



$$\text{LE/Rn} \approx 0.75$$

$$\text{H/Rn} \approx 0.20$$

$$\text{G} \approx 0.05$$

Ambiente  
Úmido

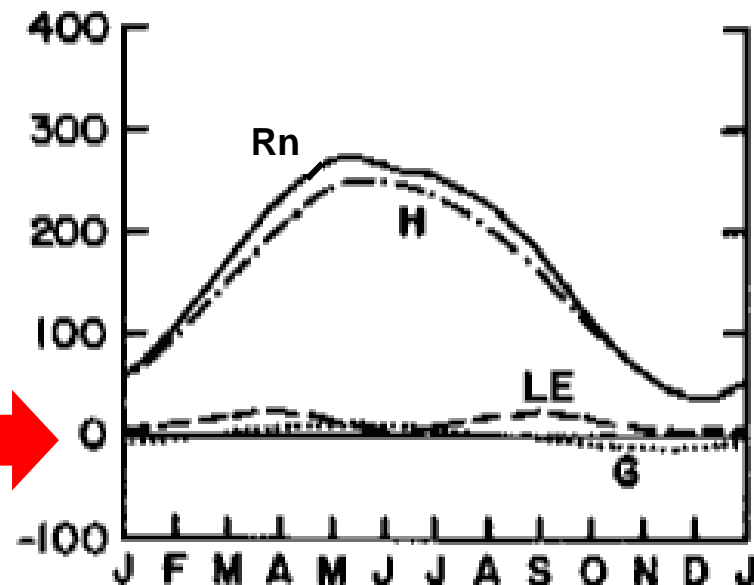
$$\text{LE/Rn} \approx 0.10$$

$$\text{H/Rn} \approx 0.85$$

$$\text{G} \approx 0.05$$

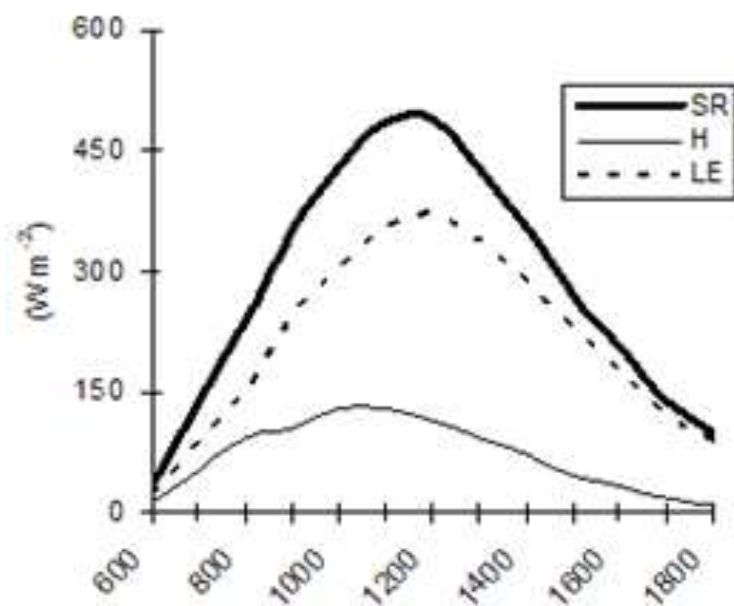
Ambiente  
Seco

Yuma, Arizona ( $32.7^{\circ}\text{N}$ )

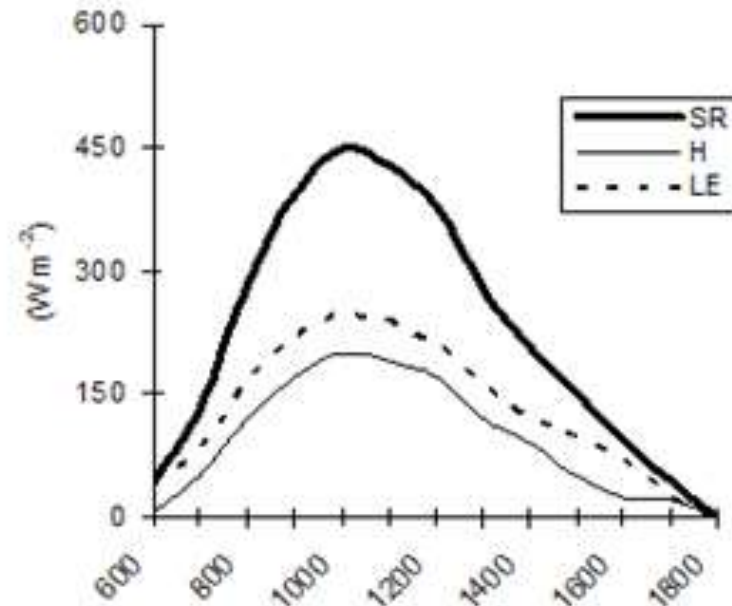


# Balanço de Energia em Pomar de Limão Tahiti

a) Época úmida



b) Época Seca

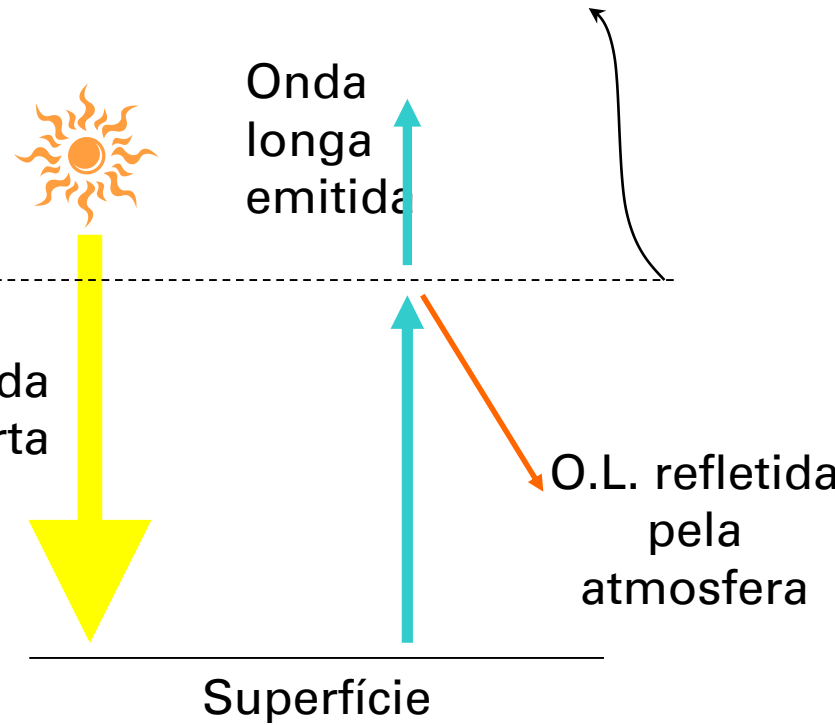


# Efeito Estufa: bases físicas

- GEE atuam como filtros para a OL emitida pela superfície – temperatura em torno dos 300 K;
- Ondas curtas emitidas pelo Sol (temperatura em torno dos 6000K) sofrem pouca interferência da atmosfera terrestre, causando desequilíbrio no balanço de radiação da Terra.

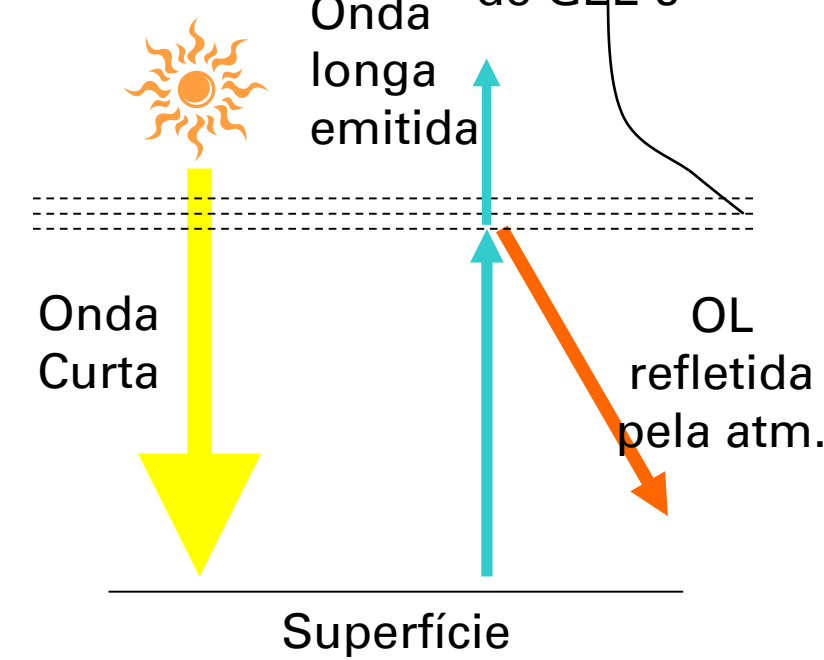
## Efeito Estufa em condições normais

Atmosfera com  
concentração  
natural de GEE's



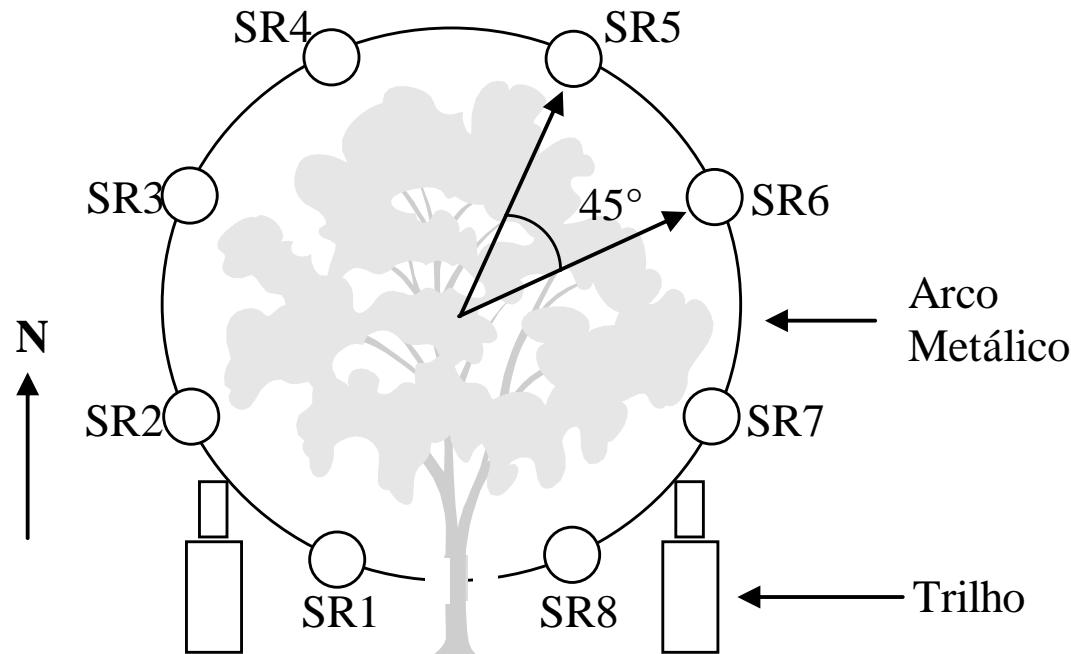
## Efeito Estufa com atmosfera alterada

Atmosfera  
alta  
concentração  
de GEE's

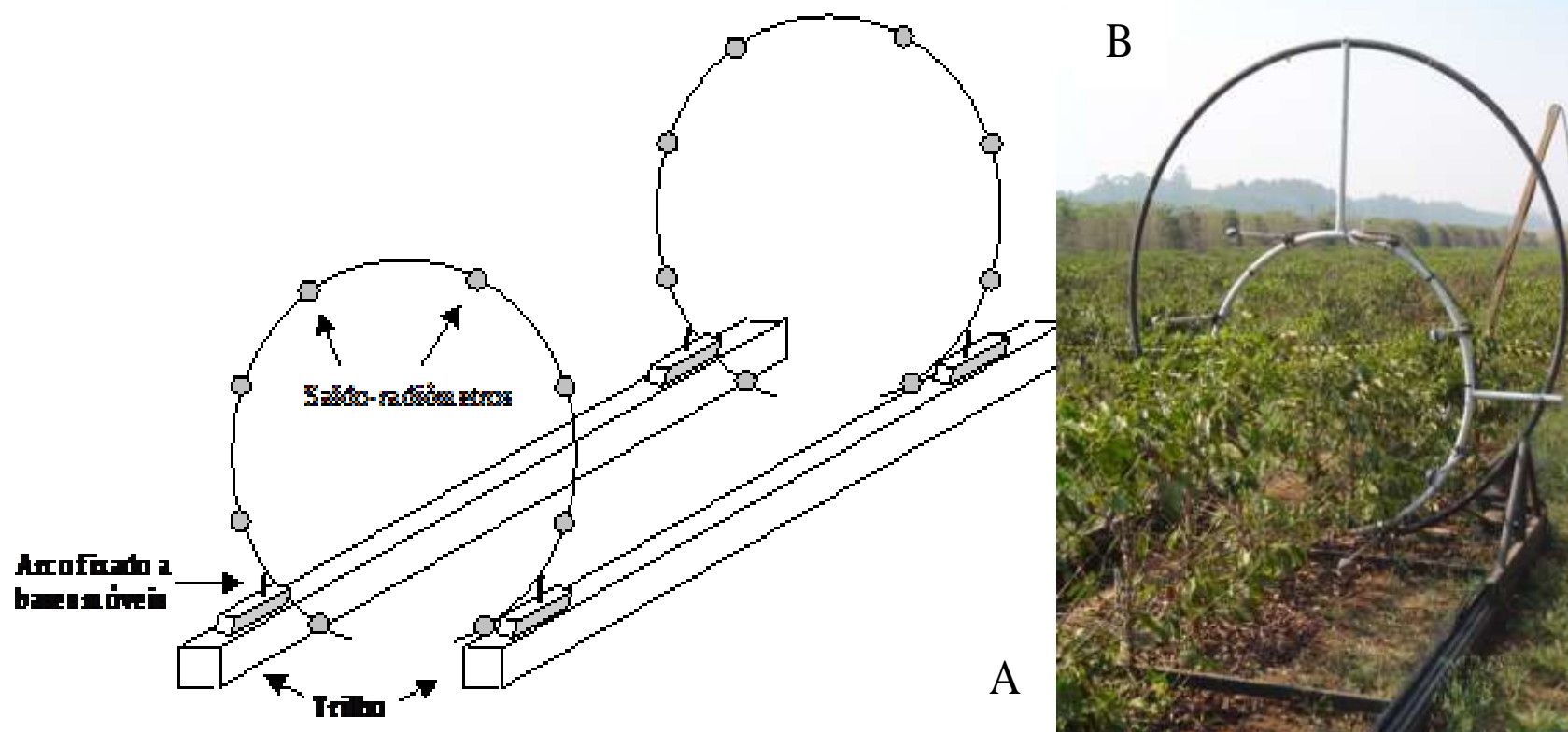


A quantidade de energia que chega ao sistema permanece o mesmo, mas uma parte da energia que era emitida ao espaço fica retida, aumentando sua temperatura.

# Saldo de Radiação em Culturas com Cobertura Esparsa



# Saldo de Radiação em Culturas com Cobertura Esparsa



# Saldo de Radiação em Culturas com Cobertura Esparsa

$$SR_{ef} = \left( \frac{1}{8} \cdot \sum_{i=8}^8 SR_i \right) d_h \cdot 2 \cdot \pi \cdot R$$

$$\frac{SR_c}{AF} = \frac{SR_{ac} \cdot (1 - e^{-k \cdot IAF})}{IAF}$$

# Saldo de Energia em Culturas com Cobertura Esparsa

